

6. Astakhov S. A., Stögbauer H., Kraskov A., Grassberger P. Monte Carlo algorithm for Least Dependent Non-Negative Mixture Decomposition // Anal. Chem. 2006. Vol. 78. P. 1620–1627.
7. Stögbauer H., Kraskov A., Astakhov S.A., Grassberger P. Least-dependent-component analysis based on mutual information // Phys. Rev. E. 2004. Vol. 70. P. 066123.
8. <http://www.klab.caltech.edu/~kraskov/MILCA/>
9. Windig W., Guilment J. Spectroscopic comparison between humic and fulvic acids from urban waste compost and soil // Anal. Chem. 1991. Vol. 63. P. 1425–1432.
10. [http://read.pudn.com/downloads6/sourcecode/math/22123/image\\_mva\\_0/simplisma.m\\_.htm](http://read.pudn.com/downloads6/sourcecode/math/22123/image_mva_0/simplisma.m_.htm)
11. Journel M., Absil P.-A., Sepulchre R. Optimization on the orthogonal group for independent component analysis // Springer-Verlag Berlin Heidelberg. 2007. P. 57–64.
12. <http://www.cs.umass.edu/~elm/ICA/>
13. Cardoso J.-F. High-order contrasts for independent component analysis // Neural Computation. 1999. Vol. 11, № 1. P. 157.
14. <http://perso.telecom-paristech.fr/~cardoso/guidesepsou.html>
15. <http://www.cid.csic.es/homes/rtaqam/>
16. Milman B. Identification of chemical compounds // Trends in Analytical Chemistry. 2005. Vol. 24, № 6. P. 493.
17. Astakhov S. A., Stögbauer H., Kraskov A., Grassberger P. Spectral mixture decomposition by Least Dependent Component analysis // URL: <http://arxiv.org/abs/physics/0412029>
18. Cichocki A.; Amari S. Adaptive Blind Signal and Image Processing. Learning Algorithms and Applications. N.Y., 2002.

УДК 541.123.2: 543.572.3

## ИССЛЕДОВАНИЕ ДВУХКОМПОНЕНТНЫХ СИСТЕМ С УЧАСТИЕМ *n*-ГЕПТАДЕКАНА И ПЕРХЛОРПРОИЗВОДНЫХ УГЛЕВОДОРОДОВ

А. В. Колядо, Е. В. Дорохина, И. К. Гаркушин

Самарский государственный технический университет  
E-mail: baschem@samgtu.ru



Приведены результаты исследований фазовых равновесий в двухкомпонентных системах четырёххлористый углерод – *n*-гептадекан и тетрахлорэтилен – *n*-гептадекан, для которых определены характеристики точек нонвариантных равновесий. Сравнение рассчитанных по методу Шредера – Ле-Шателье и экспериментально найденных составов эвтектик показало, что отклонение по содержанию перхлорпроизводного углеводорода не превышает 2,7%. Это свидетельствует о том, что изученные системы близки к идеальным.

**Ключевые слова:** дифференциальный термический анализ, фазовые равновесия, перхлорпроизводные углеводороды, *n*-гептадекан.

**Study of Binary Systems with Involvement *n*-Geptadecan and Polychlorinated Derivative of Hydrocarbons**

A. V. Kolyado, E. V. Dorohina, I. K. Garkushin

Effects of studies of phase equilibria in binary systems perchloromethane – *n*-geptadecan and ethylene tetrachloride – *n*-geptadecan for which one performance of dots of nonvariant equilibria are determined are resulted. Comparison counted on Schroder – Le-Shatele's method and experimentally found compositions of eutectics has demonstrated that deflection under the content polychlorinated derivative hydrocarbon doesn't exceed 2.7 percent. It testifies that the learnt systems are close to the ideal.

**Key words:** differential thermal analysis, phase equilibria, polychlorinated derivative hydrocarbons, *n*-geptadecan.

Методом низкотемпературного дифференциального термического анализа с использованием установки на базе среднетемпературного дифференциального сканирующего калориметра теплового потока (микрокалориметр ДСК) [1] исследованы системы четырёххлористый углерод – *n*-гептадекан и тетрахлорэтилен – *n*-гептадекан. Для исследования использовали четырёххлористый углерод и тетрахлорэтилен квалификации «хх» и *n*-гептадекан квалификации «ч» заводского изготовления.

Для прогнозирования характеристик эвтектик (температура, состав) в двойных системах использовали уравнение Шредера – Ле-Шателье [2]. Результаты расчетов для систем четырёххлористый углерод – *n*-гептадекан и тетрахлорэтилен – *n*-гептадекан представлены в табл. 1.

В результате проведения экспериментальных исследований тринацати составов для каждой системы были построены ликвидусы (рис. 1, 2) и получены эвтектики сле-

Таблица 1

Состав и температура эвтектических составов с *n*-гептадеканом, рассчитанных по уравнению Шредера – Ле-Шателье

Переменный (первый) компонент в двойной системе	Содержание первого компонента		Содержание постоянного компонента ( <i>n</i> -гептадекана)		Температура эвтектики	
	мол. %	мас. %	мол. %	мас. %	K	°C
Четыреххлористый углерод	96.94	95.31	3.06	4.69	243.5	-29.5
Тетрахлорэтилен	95.49	93.61	4.51	6.39	248.4	-24.6

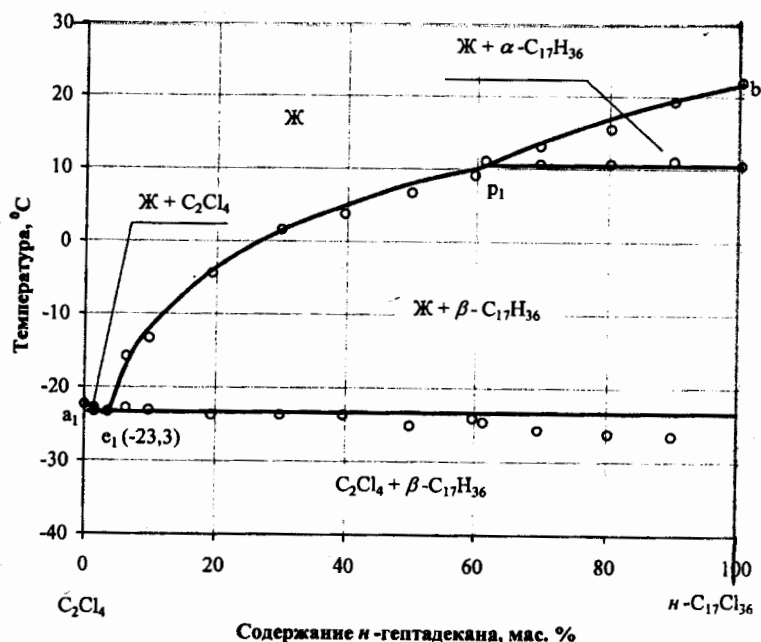


Рис. 1. *t*–*x*-диаграмма системы тетрахлорэтапен – *n*-гептадекан

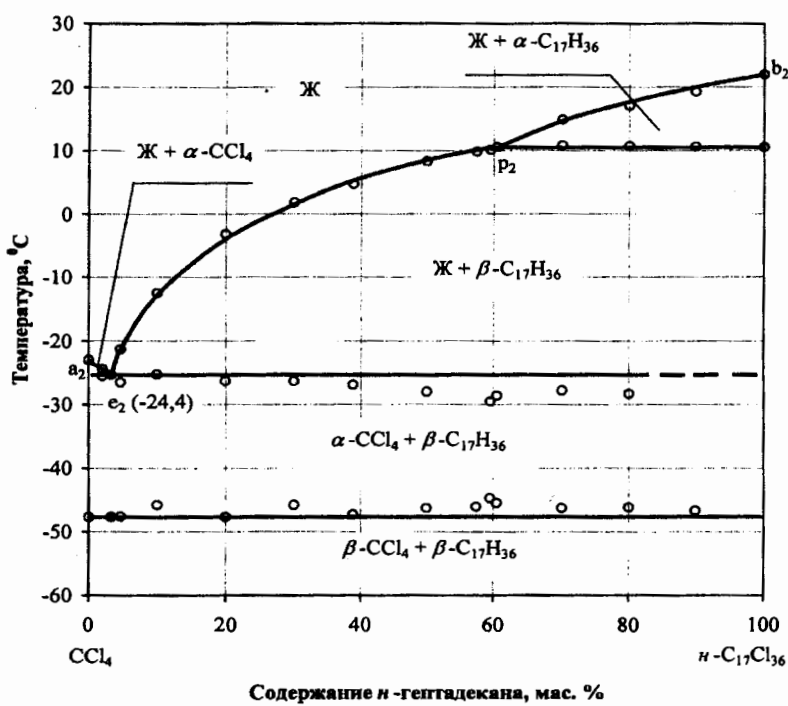


Рис. 2. *t*–*x*-диаграмма системы четыреххлористый углерод – *n*-гептадекан

Таблица 2

**Фазовые реакции и фазовые равновесия для элементов *t*-*x*-диаграмм систем тетрахлорэтилен – *n*-гептадекан и четырёххлористый углерод – *n*-гептадекан**

Система	Участок диаграммы	Фазовая реакция	Фазовое равновесие
$C_2Cl_4 - n-C_{17}H_{36}$	$a_1e_1$ , линия	$J \rightleftharpoons C_2Cl_4$	Моновариантное
	$e_1$ , точка	$J \rightleftharpoons C_2Cl_4 + \beta-C_{17}H_{36}$	Нонвариантное
	$e_1p_1$ , линия	$J \rightleftharpoons \beta-C_{17}H_{36}$	Моновариантное
	$p_1$ , точка	$J + \alpha-C_{17}H_{36} \rightleftharpoons \beta-C_{17}H_{36}$	Нонвариантное
	$p_1b_1$ , линия	$J \rightleftharpoons \alpha-C_{17}H_{36}$	Моновариантное
$CCl_4 - n-C_{17}H_{36}$	$a_2e_2$ , линия	$J \rightleftharpoons CCl_4$	Моновариантное
	$e_2$ , точка	$J \rightleftharpoons CCl_4 + \beta-C_{17}H_{36}$	Нонвариантное
	$e_2p_2$ , линия	$J \rightleftharpoons \beta-C_{17}H_{36}$	Моновариантное
	$p_2$ , точка	$J + \alpha-C_{17}H_{36} \rightleftharpoons \beta-C_{17}H_{36}$	Нонвариантное
	$p_2b_2$ , линия	$J \rightleftharpoons \alpha-C_{17}H_{36}$	Моновариантное

дующего состава: 3,30 мас.% *n*-гептадекана и 96,70 мас.% четырёххлористого углерода; 3,60 мас.% *n*-гептадекана и 96,40 мас.% тетрахлорэтилена.

Ликвидусы систем представлены тремя ветвями кристаллизации;  $\alpha$  и  $\beta-C_{17}H_{36}$  и  $CCl_4$  ( $C_2Cl_4$ ). Фазовые равновесия для различных участков диаграмм приведены в табл. 2.

Экспериментально найденные и рассчитанные значения точек нонвариантного равновесия сравнимы между собой. Относительное отклонение содержания перхлорпроизводного углеводорода и температуры плавления эвтектического состава не превышают

2,7% и 1,7% соответственно. Это свидетельствует о том, что изученные системы близки к идеальным и использование уравнения Шредера – Ле-Шателье для прогнозирования свойств эвтектических составов возможно.

#### Список литературы

1. Мощенский Ю.В. Дифференциальный сканирующий колориметр ДСК-500 // Приборы и техника эксперимента. 2003. №6. С.143–144.
2. Гаркушин И.К., Люстрицкая Д.В., Агафонов И.А. Анализ, прогнозирование и экспериментальное исследование рядов двухкомпонентных систем с участием *n*-декана и *n*-ундекана. Екатеринбург, 2008. 118 с.

УДК 543.54:547

## ЦВЕТОМЕТРИЧЕСКОЕ ОПРЕДЕЛЕНИЕ ЛИЗИНА ПОСЛЕ ЕГО ЭЛЕКТРОФОРЕТИЧЕСКОГО ОТДЕЛЕНИЯ ОТ СМЕСИ $\alpha$ -АМИНОКИСЛОТ

Е. И. Селифонова\*, И. В. Косырева, Р. К. Чернова\*

Саратовский государственный университет,  
Институт химии\* ОНИnanoструктур и биосистем  
E-mail: self-ei@yandex.ru

Найдены условия избирательного электрофоретического выделения лизина из смеси аминокислот и цветометрического его определения путем визуализации нингидрином. Исследованы продукты взаимодействия лизина с нингидрином в водной среде и на целлюлозной матрице. Приведен пример цветометрического определения лизина после электрофоретического отделения. Ключевые слова: аминокислоты, лизин, электрофоретическое разделение, цветометрическое определение.



Definition on Color of a Lysine after its Electroforetic's Branches from a Mix of  $\alpha$ -Amino Acids

E. I. Selifonova, I. V. Kosyreva, R. K. Chernova

Conditions selective electroforetic's allocation of lysine from a mix of amino acids and its definition on color by visualization by a ningidrin are found. Products of interaction of lysine with ningidrin in the water